

سنتز شیمیایی فاز جامد Brevinin2R و دیاسترومر آن به عنوان پپتید ضد باکتریایی و مطالعه ساختار-فعالیت

هاشم یعقوبی^۱، حسین نادری منش^{۱*}، یداله امید^۲ و احمد آسوده^۳

^۱ تهران، دانشگاه تربیت مدرس، دانشکده علوم زیستی، گروه بیوفیزیک- بیوشیمی

^۲ تبریز، دانشگاه علوم پزشکی تبریز، مرکز تحقیقات نانو فناوری دارویی

^۳ مشهد، دانشگاه فردوسی مشهد، دانشکده علوم، گروه شیمی

تاریخ دریافت: ۸۹/۷/۶ تاریخ پذیرش: ۸۹/۸/۳

چکیده

ترشحات سطح پوست دوزیستان سرشار از ترکیبات مختلف است. برخی ترکیبات دارای عملکرد فیزیولوژیک و برخی دیگر که دارای فعالیت ضد میکروبی هستند بخشی از دفاع اولیه دوزیستان را تشکیل می دهند. در این تحقیق Brevinin-2R که حاوی ۲۵ آمینواسید برای اولین بار به صورت فاز جامد در ایران سنتز گردید. Brevinin-2R حاوی ۲۵ آمینواسید می باشد که از پوست قورباغه *Rana ridibunda* ترشح می شود. این پپتید دارای خاصیت ضد باکتریایی بالقوه بوده و خاصیت همولیتیک ضعیفی دارد. از لحاظ خصوصیات ساختاری این پپتید دارای انتهای آمینی آب دوست و انتهای کربوکسیل آن دارای لوپ است که توسط یک پیوند دی سولفیدی ایجاد شده است، این ساختار در گونه های *Rana* مشترک است. به منظور بررسی خصوصیات ساختاری، ضد باکتریایی، فعالیت همولیتیکی و پایداری پروتئولیتیکی آنالوگهای D (دیاسترومرهای D-leu) به صورت فاز جامد سنتز شد و درستی توالی سنتز شده توسط دستگاه طیفسنجی جرمی تأیید گردید. مطالعات ساختاری نشان داد که ساختار ماریپج α و هیدروفوبیسیته نقش بسیار مهمی را در فعالیت این پپتیدها ایفاء می کند. آنالوگ D هیچ گونه فعالیت همولیتیکی حتی تا غلظت $400 \mu\text{g/ml}$ از خود نشان ندادند. در حالی که Brevinin-2R به صورت جزیی دارای خاصیت همولیتیک بود. فعالیت ضد باکتریایی (MIC) Brevinin-2R در مقایسه با آنالوگ D در هر دو باکتریهای گرم منفی و گرم مثبت بیشتر بود. فعالیت طیف CD در محیط آب و (۵۰ درصد) TFE تری فلورواتانل نشان داد که این پپتیدها در محیط آب هیچ گونه ساختار مشخصی ندارند ولی در محیط TFE که مشابه ساختار غشاء می باشد به صورت ماریپج آلفا در می آیند که در مورد Brevinin-2R درصد آلفا هلیکس نسبت به آنالوگ خود تفاوت فاحشی داشت. در مورد Brevinin-2R درصد آلفا هلیکس محاسبه شده ۵۳ درصد است. پایداری پروتئولیتیکی نشان داد که پپتید Brevinin-2R در مقایسه با آنالوگ D به پروتئازها حساس است.

واژه های کلیدی: Brevinin2R، خاصیت ضد باکتریایی، و خاصیت همولیتیک، طیف CD، هیدروفوبیسیته، سنتز شیمیایی فاز جامد

* نویسنده مسئول، تلفن: ۰۲۱-۸۲۸۸۴۴۵۸-۲۱ پست الکترونیکی: naderman@modares.ac.ir

مقدمه

می تواند سلامت فرد را در معرض خطر قرار دهد. به عبارت دیگر می توان گفت آنتی بیوتیکها تیغ دولبه ای هستند که مصرف صحیح آنها سبب کنترل عفونت و

آنتی بیوتیکها از داروهایی هستند که بیشترین مصرف را میان بیماران دارند و مصرف بیش از اندازه داروهای آنتی بیوتیک به علت ایجاد مقاومت دارویی و عوارض جانبی

کوتاه و بالابودن هزینه فرموله کردن آنها در مقایسه با داروهای جدید نیز از دیگر معایب این گروه از داروهاست. علاوه بر این، پپتیدها ترکیباتی هیدروفیلک یا آب دوست هستند و نمی توانند از مانع مغزی خونی عبور کنند (۹، ۱۱، ۱۶ و ۲۶). از سوی دیگر، بسیاری از محققان با توجه به اینکه پپتیدها از فعالیت زیستی بالایی برخوردار بوده و هزینه درمانی بسیار پایین تری را به بیمار تحمیل می کنند این ترکیبات را کاندیداهای خوبی برای سنتز داروها می دانند، همچنین یکی از مهم ترین مزایای پپتیدها به عنوان دارو این است که معمولاً چنین داروهایی عوارض جانبی نداشته و به علت داشتن سمیت پایین، مشکلاتی را برای بیمار به وجود نخواهند آورد. اما باید این نکته را مورد توجه قرار داد که استفاده از پپتیدها به عنوان دارو مستلزم ایجاد تغییراتی در این ترکیبات است تا از خواص دارویی مناسب مانند پایداری متابولیکی، تمایل بالا و اختصاصی بودن برای یک آنزیم یا گیرنده به خصوص برخوردار شوند (۲۱ و ۱۲).

اولین عضو خانواده بروینین - ۲ (۲-Brevinin) اولین بار از ترشحات پوست نوعی قورباغه تالابی ژاپن *Rana brevipoda porsa* استخراج شد. پپتیدهای خانواده بروینین - ۲، توزیع بسیار گسترده ای در دوزستان جنس رانا در اروپا و آسیا دارد. تاکنون چهارده عضو خانواده بروینین - ۲ از ترشحات پوستی و معده *Rana esculenta* شناسایی شده است که با لحاظ کردن بروینین - ۲R به پانزده عضو می رسد (۱ و ۱۳). بروینین - ۲R از جنس *R. ridibunda* شباهت زیادی به بروینین - ۲Ee گونه *R. esculenta* دارد. همچنین پپتید بروینین - ۲R شباهت زیادی به بروینین - ۲Ej دارد. (۲۵) بروینین - ۲R برای اولین بار توسط آسوده و همکاران (۲۳) از ترشحات پوستی قورباغه مردابی معمولی *Rana ridibunda* جدا گردید. محل پیدایش این گونه بیشتر در ساحل شمالی دریای خزر و روسیه است. این پپتید حاوی ۲۵ آمینواسید می باشد. از لحاظ خصوصیات ساختاری این پپتید دارای انتهای آمینی آب دوست و انتهای کربوکسیل

مصرف بی رویه و نادرست آنها منجر به ایجاد مقاومت دارویی خواهد شد (۲ و ۱۹). وقتی آنتی بیوتیکها برای نخستین بار در درمان بیماریهای عفونی موفق عمل کردند، بسیاری از محققان بر این باور بودند که انسان توانسته برای همیشه بر بیماریهای عفونی غلبه کند؛ اما پس از گذشت چندین دهه در نتیجه کاهش تأثیر آنتی بیوتیکها و ایجاد مقاومت دارویی، این گروه از داروها دیگر نتوانست سلامت انسانها را در برابر عوامل میکروبی تضمین کند (۵ و ۲۸).

در سالهای اخیر علاقه مندی محققان در زمینه تحقیق درباره حل مشکلات ناشی از مقاومت دارویی با استفاده از پپتیدها با افزایش چشمگیری داشته است. امروزه پپتیدهای ضد میکروبی به خوبی شناخته شده اند. صدها نوع از این پپتیدها در موجودات زنده کشف شده اند و تعداد زیادی پپتید دارویی ضد میکروبی نیز ساخته شده است. در چند دهه اخیر، جستجو برای داروهای جدید از پپتیدها ۱۰ تا ۴۰ اسید آمینه ای مورد توجه قرار گرفته و تلاشهای زیادی در این زمینه از سوی محققان و داروسازان انجام شده است (۳ و ۵). بررسی توسعه تجاری پپتیدهای ضد میکروبی در کشورهای مختلف نشان می دهد که می توان از داروهای پپتیدی در مراحل مختلف درمان و برای درمان موارد مختلف ابتلا به عفونت مانند زخم پای بیماران دیابتی، جوش صورت، عفونت غشای مخاطی، ورم لثه یا مننژیت به صورت موضعی، خوراکی یا سیستمیک استفاده کرد (۱۵ و ۲۰).

اگر چه چندین دهه از مطرح شدن پپتیدها به عنوان دارو می گذرد، اما عوامل مختلفی مانند هضم پپتیدها توسط آنزیمهای مختلف مانند پروتئازها، کندی سرعت انتقال این نوع داروها از غشاء و انعطاف پذیری بالای آنها محدودیتهایی را در استفاده از آنها به عنوان داروهای ضدباکتریایی به وجود آورده است که مانع گسترش مصرف آنها در میان بیماران می شود. داشتن نیمه عمر

به مدت ۳۰ دقیقه به هم زده شد. مقدار کمی از رزین توسط آزمایش نین هیدرین، برای اطمینان از حفاظت زدایی گروه محافظت کننده Fmoc آزمایش نین هیدرین روی رزین انجام شد که رنگ آبی مؤید انجام واکنش بود. (اگر آبی شده باشد مثبت و اگر بیرنگ تا زرد باشد، منفی یعنی گروه Fmoc از اسید آمینه جدا نشده است). برای گام اتصال (کوپل کردن) که اضافه کردن اسید آمینه دوم به اول است TBTU و DIEPA به ظرف واکنش اضافه شد و به مدت ۲ ساعت تکان داده شد (آزمایش نین هیدرین انجام شد. رنگ زرد نشانگر انجام واکنش بود). به ترتیب برای اضافه کردن اسید آمینه بعدی سه مرحله اتصال، حذف گروه محافظت کننده و اتصال اسید آمینه بعدی و سپس آزمایش نین هیدرین برای هر گام انجام شد. (در صورت لزوم این زمان می تواند طولانی تر باشد از اسید آمینه ده به بعد مدت زمان اتصال اسید آمینه به اسید آمینه بعدی ۴ ساعت شد).

برای مرحله شکست کامل و جدا کردن پپتید از ستون ۲/۵ سی سی محلول ۹۵ درصد تری فلورو استیک اسید (TFA) ۲/۵ درصد آب و ۲/۵ درصد TIS به آن افزوده شد و به مدت ۲ ساعت تکان داده شد رزین سیاه گردید. این بخش حتماً بایستی زیر هود انجام گیرد. سپس قطره قطره از دی اتیل اتر سرد (که قبلاً تقطیر شده بود) به آن اضافه شد که کم کم رسوب سفید رنگی تشکیل شد. بعد از مشاهده رسوب سفید رنگ فالكونها به مدت ۲۴ ساعت در یخچال نگهداری شد. سپس فالكونها به مدت ۵ دقیقه در دور ۳۰۰۰ سانتریفیوژ شد و دی اتیل اتر از رسوب جدا گردید. نمونه برای جداسازی با HPLC آماده شد و با ستون C8 نیمه آماده سازو شیب ۱ درصد استونیتریل اولین جداسازی انجام شد.

نحوه تشکیل پیوند دی-سولفیدی: برای تشکیل پیوند دی-سولفیدی در ابتدا پپتیدها در غلظت پایین تر از ۲۰ mM بافر فسفات ۰/۰۱ M (pH 7) در حضور ۱۰ درصد

آن دارای لوپ است که توسط یک پیوند دی سولفیدی ایجاد شده است، این ساختار در گونه های Rana مشترک است.

در این تحقیق از روش تغییر نوع اسید آمینه در بدنه اصلی پپتید استفاده شد. هدف تحقیق حاضر، سنتز و مطالعه فعالیت پپتیدهای برونین-۲ R و آنالوگ آن یعنی Sami-D که تمام اسید آمینه های لوسین (Leu) آن از نوع D است، و مطالعه فعالیت ضد میکروبی، مطالعه ارتباط توالی-ساختار و بررسی عوامل مؤثر بر فعالیت پپتیدها است. هدف بلند مدت، تلاش برای پیدا کردن کلیدی برای طراحی منطقی پپتیدهای ضد میکروبی جدید دارویی می باشد. هدف نهایی تحقیق در این زمینه مهندسی پپتید با سمیت کمتر، فعالیت ضد میکروبی بیشتر و مقاومت در برابر هضم پروتئازها است. همچنین تلاش برای ایجاد داروهای مؤثر بر علیه انواع بیماریها به ویژه سلولهای سرطانی است.

مواد و روشها

اسید آمینه های محافظت شده، رزین و همه واکنشگر های سنتزی از شرکت باخم (آلمان) خریداری شد. تمام مواد شیمیایی خلوص بیش از ۹۹ درصد داشتند. حلالهای شیمیایی برای HPLC و TFE از شرکت مرک (آلمان) خریداری شد. سوشهای گرم مثبت و منفی از پژوهشکده علمی - صنعتی گرفته شد.

سنتز شیمیایی پپتیدهای برونین-۲ R، آنالوگ Sami-D و تخلیص: سنتز شیمیایی پپتیدهای برونین-۲ R و آنالوگ Sami-D با استفاده از رزین 2Cl-Trtcl و تکنیک Fmoc انجام شد. در ابتدا Fmoc-Cys(Trt) با استفاده از DIEPA در محیط DMF:DCM (1:1) به مدت ۳۰ دقیقه در دمای اتاق به هم زده شد تا به رزین متصل گردد. برای حذف گروه Fmoc، ۱/۲۵ میلی لیتر پی پیریدین ۲۰ درصد (در DMF) به ظرف واکنش اضافه شد و مخلوط

سنجش همولیز پپتید: ۵ ml خون تازه انسان را در یک لوله هپارینه ریخته و در دور ۴۵۰۰ rpm به مدت ۱۰ دقیقه، سانتریفیوژ نموده و سپس گلبول های قرمز را با PBS شسته تا محلول رویی کاملاً شفاف شود و گلبولهای قرمز در ml PBS ۲۰ رقیق گردید.

۱۹۰ μl از سوسپانسیون سلولی را در لوله های میکروفیوز ریخته و ۱۰ μl نمونه پپتید که به صورت سریالی رقیق شده است (سریالهای ۲۰ x) به آن اضافه گردید. نمونه به مدت ۳۰ دقیقه در ۳۷ درجه سانتی گراد انکوبه شد پس از آن لوله ها به مدت ۵ دقیقه در دور ۴۰۰۰ سانتریفیوژ گردید ۱۰۰ μl از محلول رویی را تا حجم ۱ ml بافر PBS رقیق گردیده و جذب آن در ۵۶۷ nm قرائت شد. OD نسبی در مقایسه با سوسپانسیون سلولی که ۰/۲ درصد تریتون ۱۰۰ X- که معیار ۱۰۰ درصد همولیز است محاسبه گردید. (۱۷)

پایداری پروتئولیتیکی: یکی از مهارکننده های پپتید های ضد میکروبی، پروتئازها هستند. برای ارزیابی میزان حساسیت یا مقاومت و مهارکنندگی این پپتیدها، در حضور تریپسین استفاده شد. برونین-R ۲ و آنالوگ Sami-D در PBS (pH 7.4) حل گردید. پپتیدها، در حضور تریپسین به نسبت ۱:۲۵۰ (آنزیم / پپتید W/W) در ویالهای ۱.۵ml دمای ۳۷ درجه سانتی گراد به مدت ۴ ساعت قرار گرفت، پس از این مدت زمان مهار فعالیت تریپسین با اضافه کردن مهار کننده تریپسین تیپ II-S (Sigma) soybean , در زمانهای مختلف انجام شد. سپس نمونه ها برای سنجش فعالیت ضد باکتریایی باقیمانده مورد استفاده قرار گرفتند (۱۴ و ۲۲).

طیف سنجی دورنگ نمای دورانی: طیف CD پپتیدها در 20 mm بافر سدیم فسفات و ۵۰ درصد تری فلورو اتانول (TFE) در بافر سدیم فسفات به کمک اسپکترو پلاریومتر مدل های جاسکو مدل J-715 صورت پذیرفت. طیفها بر اساس پارامتر بیضی واری مولی ارائه شده است. این پارامتر از رابطه زیر محاسبه گردید.

DMSO حل گردید (۲۷ و ۲۹) بعد در دمای اتاق به مدت یک شبانه روز هم زده شد. در این مدت از نمونه در فواصل زمانی مختلف به منظور تشکیل پیوند دی-سولفیدی برداشته شد و توسط دستگاه HPLC بررسی گردید. بعد از خالص کردن نمونه ها به منظور اطمینان بیشتر از تشکیل پیوند دی-سولفیدی توسط Mass تأیید گردید.

تعیین حداقل غلظت مهاری (MIC) پپتیدها: تعیین (MIC) بر اساس روش کلاسیک توصیه شده کمیته ملی ایمن آزمایشگاهی و استاندارد (NCLSS) می شود که توسط Hancock با تغییراتی برای پپتیدهای کاتیونیک نیز استاندارد گردیده است (۱۸).

از سویه های کشت داده شده در پلیتهای MHA به لوله های حاوی MHB ۵ میلی لیتر تلقیح انجام داده و به مدت یک شبانه روز در ۳۷ درجه و تکان دادن با rpm ۱۸۰ انکوبه شد. پپتید مورد نظر در آب مقطر به میزان ۲۰ برابر غلظت مورد نیاز تهیه شد و در یک حجم از محلول اسیداستیک ۰/۱ درصد و BSA ۰/۲ درصد رقیق شد تا ۱۰ برابر غلظت ماکزیمم مورد نیاز تهیه گردید. باکتری کشت داده شده در MHB را رقیق نموده تا 10^5 CFU/ml (۷-۲) به دست آمد. (در این مرحله لوله های مک فارلند تهیه شد و مقایسه کدورت با این لوله ها انجام شد). مقدار ۱۰۰ میکرولیتر از سوسپانسیون میکروبی در هر چاهک از ستونهای ۱ الی ۱۱ منتقل شد. در ستون ۱۲، ۱۰۰ میکرولیتر محیط MHB اضافه شد (لوله شاهد دستگاه الایزا). مقدار ۱۱ میکرولیتر از پپتید 10 X به هر چاهک ۱ الی ۱۱ اضافه شد (ستون ۱۱ کنترل باکتری به تنهایی و بدون پپتید بود). چاهکهای اطراف چاهکهای نمونه توسط آب مقطر استریلیزه پرشد. پلیتها در ۳۷ درجه سانتی گراد برای ۱۸-۲۴ ساعت انکوبه شد. جذب چاهکها با دستگاه الایزا خوانده شد. MIC پایین ترین غلظت پپتید است که بیش از ۵۰ درصد رشد را کاهش داده است.

$$[\theta] = \theta \times 100 \text{MRW}/\text{cl}$$

C غلظت پپتید برحسب میلی گرم بر میلی لیتر، l طول مسیر نور برحسب سانتیمتر، θ بیضی واری مولی برحسب درجه در طول موج λ و MRW، میانگین وزن هر مانده آمینو اسیدی است. پهنای باند ۲ نانومتر و سرعت اسکن ۱۰۰ نانومتر در دقیقه انتخاب شد. برای ثبت طیف پپتید به ترتیب از کووت‌هایی با طول ۱ و ۱۰ میلی متر استفاده شد و در غلظت حدود $200 \mu\text{g}/\text{ml}$ از پپتیدها طیف سنجی انجام گرفت. پارازیت‌های طیف به کمک نرم‌افزار جاسکو J-715 از بین رفت.

برای محاسبه درصد ساختار دوم پروتئین، طیف‌های ناحیه دور دورنگ نمایی دورانی با استفاده از نرم افزار شرکت جاسکو (نسخه ۰۲-۱۰-۱) بررسی شده و در صد ماریچج آلفا، صفحات β ، خم β و شکل راندموم کویل تعیین گردید. همچنین در مواردی درصد ماریچج آلفا با استفاده از فرمول زیر محاسبه گردید:

$$\alpha\text{-Helix}(\%) = ([\theta]_{222} + 2340) / (-30300) \times 100$$

222 [θ] بیضی واری مولی در طول موج ۲۲۲ نانومتر می باشد. طیفها در ۲۵ درجه سانتی گراد از ۱۹۰ تا ۲۵۰ نانومتر اندازه گیری شد. پپتیدهای لیوفیلیزه شده در آب دیونیزه حل شد و سه اسکن برای هر نمونه انجام و میانگین محاسبه گردید. مقادیر بیضی واری بر حسب میلی درجه به بیضی واری مولی تبدیل شد و بر اساس $\text{deg.cm}^2\text{dmol}^{-1}$ بیان شد (۶ و ۸). اندازه گیری غلظت پپتیدی با روش Wadlile انجام شد (۳۱).

نتایج

سنتز: پپتیدها در شرایط آزمایشگاه و به صورت دستی در ستونهای شیشه ای دارای شیر سنتز شدند. پس از هر مرحله اتصال و جدا کردن محافظ، آزمایش نین هیدرین انجام شد. پس از طی چرخه کامل سنتز و اتمام مرحله آخر به کمک ۹۵ درصد تری فلورو استیک اسید (TFA) ۲/۵ درصد آب و ۲/۵ درصد TIS به مدت ۲ ساعت که تکان داده شد،

(رزین سیاه می شود و در ضمن این بخش حتماً بایستی زیر هود انجام گیرد) پپتیدها از رزین جدا شده و سپس قطره قطره از دی اتیل اتر سرد به آن اضافه تا کم کم رسوب سفید رنگی تشکیل شد.

پپتیدها به این ترتیب نامگذاری شدند:

بروینین-۲ R- KLKNFAKGVAQSLLNKASCKLSGQC

Sami-D (دیاسترومر) KLKNFAKGVAQSLLNKASCKLSGQC

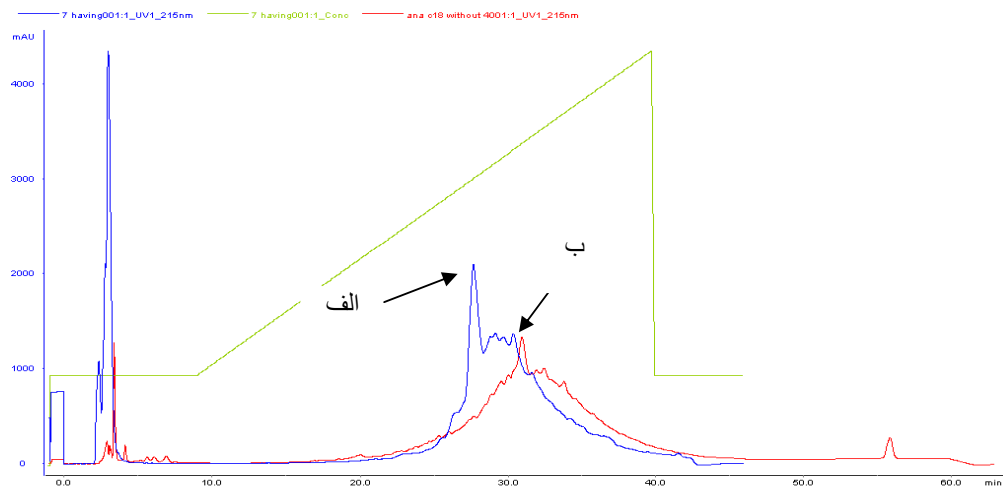
تخلیص: ابتدا هر دو نمونه برای اولین بار با ستون C18 تجزیه‌ای با تزریق بسیار کم پپتید آزمایش شد و محل خروج نمونه که احتمالاً "بزرگترین پیک است، تعیین گردید. بعد از آن هر نمونه با ستون C18 نیمه آماده ساز و شیب ۱ درصد با مقادیر بیشتر خالص شد اشکال (۱ و ۲) و در تمامی موارد با ستون C18 تجزیه‌ای خلوص بالای ۹۸ درصد تأیید شد.

زمان خروج و یا اصطلاحاً زمان باقیماندن بروینین-۲ R- طولانی‌تر از آنالوگ آن و Sami-D بود که نشان دهنده آب گریزتر بودن بروینین-۲ R- نسبت به آنالوگ است.

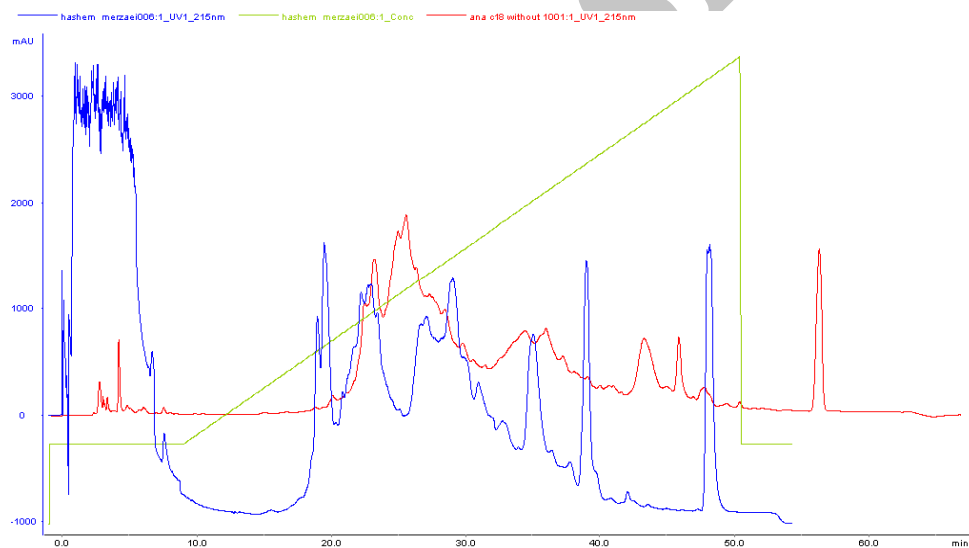
تعیین وزن مولکولی پپتید بروینین-۲ R- و آنالوگ آن با استفاده از طیف سنجی جرمی: تأیید نهایی وزن مولکولی پپتید بروینین-۲ R- و آنالوگ آن با استفاده از طیف سنجی جرمی در دانشگاه سنگاپور انجام شد.

ارزیابی فعالیت ضد میکروبی پپتید بروینین - ۲ R و آنالوگ آن علیه سوشهای استاندارد میکروبی: فعالیت میکروبی بروینین-۲ R- علیه باکتریهای گرم منفی و گرم مثبت به روش تعیین حداقل غلظت مهار (MIC) تعیین گردید که در پلیت ۹۶ تایی انجام شد. در جدول ۱- قدرت ضد میکروبی این پپتید علیه باکتریهای گرم مثبت و گرم منفی آمده است. بروینین-۲ R- در محدوده MIC بین 0/39-12/5 $\mu\text{g}/\text{ml}$ و Sami-D بین 0/75-100 $\mu\text{g}/\text{ml}$ طیفی از باکتریها را از بین می برد. در این بین، باکتری *Staphylococcus*

مقاوم ترین باکتری در این جدول است. *Pseudomonas aeruginosa* و *epidermidis* حساس ترین



شکل ۱- کروماتوگرام پپتید برونین-۲ R (الف) دارای پیوند دی-سولفیدی (ب) فاقد پیوند دی-سولفیدی



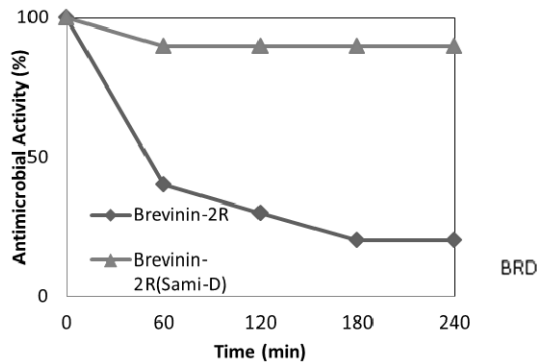
شکل ۲- کروماتوگرام پپتید (Sami-D) برونین-۲ R (الف) دارای پیوند دی-سولفیدی (ب) فاقد پیوند دی-سولفیدی

جدول ۱- مقادیر MIC برونین-۲ R و آنالوگهایش بر علیه سوش های استاندارد باکتریایی

| Bacteria | Brevinin-2R | Sami-D |
|--|-------------|--------|
| (Methicillin resistant <i>S. aureus</i>) MRSA | 6.25 | 25 |
| 1015 (<i>Bacillus cereus</i>) | 0.78 | 3.12 |
| 1112 (<i>Staphylococcus aureus</i>) | 1.56 | 6.25 |
| 1114 (<i>Staphylococcus epidermidis</i>) | 0.39 | 0.78 |
| ATCC27853 (<i>Pseudomonas aeruginosa</i>) | 25 | 100 |
| ATCC13883 (<i>Klebsiella pneumonia</i>) | 12.5 | 25 |
| ATCC2592 (<i>Escherichia coli</i>) | 0.39 | 12.5 |

پایداری پپتیدها حلقوی کردن و جایگزین کردن اسیدهای آمینه نوع D به جای L است.

شکل ۴ - فعالیت ضد باکتریایی باقیمانده برونین-۲R و آنالوگ آن را بر روی باکتری گرم مثبت *Staphylococcus epidermidis* که به مدت ۴ ساعت در معرض تریپسین بوده و در زمانهای مختلف فعالیت ضد باکتریایی بررسی شده است را نشان می‌دهد.

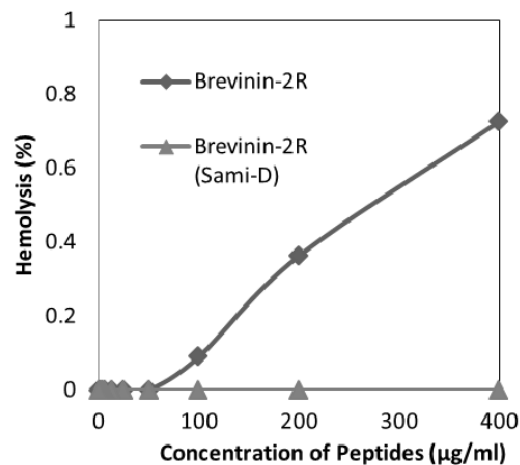


شکل ۴- بررسی میزان حساسیت پپتید برونین-۲R و آنالوگ آن بر روی باکتری گرم مثبت

همان طوری که مشخص است، در مدت ۴ ساعت تغییر زیادی در فعالیت ضد باکتریایی آنالوگ Sami-D صورت نگرفته است و ۹۰ درصد فعالیت خود را حفظ کرده است، پپتید برونین-۲R در مقایسه با آنالوگ کاهش فعالیت چشمگیری از خود نشان می‌دهد که این مقدار ۲۰ درصد است که نشان دهنده نقاط حساس زیاد به هضم تریپسین است.

نتایج حاصل از طیف دورنگ نمایی دورانی: ساختار دوم پپتید برونین-۲R و آنالوگ آن از طریق طیف سنجی CD در حضور و غیاب تری فلئوئورو اتانول (TFE) محاسبه گردید. اشکال (۵) و (۶) طیف CD این پپتیدها در ۵۰Mm بافر سدیم فسفات و در محلول هیدروفوب ۵۰ درصد تری فلئوئورو اتانول (TFE) که محیطی شبیه ساختار غشاء را به وجود می‌آورد، نشان می‌دهد.

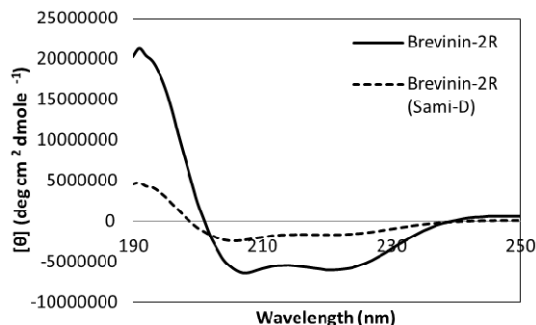
تعیین فعالیت همولیزی: فعالیت همولیزی در غلظتهای مختلف برونین-۲R و آنالوگ آن علیه اریتروسیت های انسان سنجیده شد. با اندازه گیری میزان جذب ۵۶۷ nm کنترل منفی PBS، کنترل مثبت ۰/۲ درصد تریتون X₁₀₀ و نمونه های مختلف تیمار شده، فعالیت نسبی همولیزی محاسبه گردید همان طور که در شکل ۳ آمده است. پپتید برونین-۲R تا غلظت ۴۰۰ μg/ml دارای ۰/۷ درصد فعالیت همولیزی است که این مقدار در مقایسه با بسیاری از پپتیدها از جمله ملیتین ها بسیار پایین است، جالب این است که آنالوگ Sami-D حتی تا غلظت ۴۰۰ μg/ml هیچ گونه فعالیت همولیزی از خود نشان ندادند که این مقدار از محدوده MIC این پپتیدها خیلی زیاد است که یکی از ویژگیهای بسیار مطلوب این آنالوگهای طراحی شده محسوب می‌شود.



شکل ۳- بررسی فعالیت همولیزی در غلظتهای مختلف برونین-۲R و آنالوگ آن علیه اریتروسیت های انسان

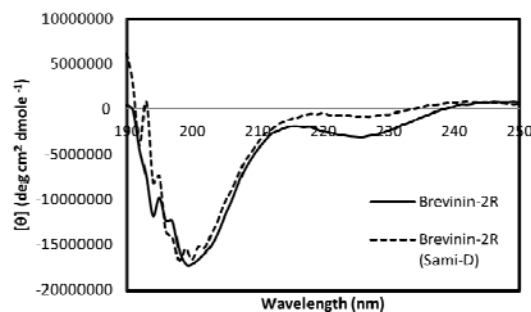
پایداری در برابر هضم پروتئازها: یکی از مشکلات عمده در تمام پپتیدهای ضد میکروبی هضم سریع آنها توسط پروتئازهای موجود در جریان خون و سلولها می باشد. این عامل می‌تواند یک مانع بزرگ برای استفاده از آنها به عنوان داروهای مؤثر باشد. پیوندهای پپتیدی به راحتی توسط پروتئازها شکسته می‌شوند. یک روش آسان برای افزایش

شکل ۵- طیف CD پپتید بروینین-۲ R و آنالوگ آن در ۵۰ Mm بافر سدیم فسفات



شکل ۶- طیف CD پپتید بروینین-۲ R و آنالوگ آن در حضور تری فلورو اتانول (TFE)

همان‌طور که از اشکال دیده می‌شود همانند اکثر پپتیدهای ضد میکروبی در محلولهای مایی هیچیک از پپتیدها ساختار منظم و خاصی ندارند و بیشتر به حالت راندم کویل دیده می‌شوند، ولی در محیطهای هیدروفوب (مانند: SDS و TFE) دارای ساختار دوم مارپیچ- α هستند. در جدول ۲ نیز مقادیر مختلف عددی ساختار دوم نشان داده شده است.



جدول ۲- مقادیر مختلف عددی ساختار دوم پپتید بروینین-۲ R و آنالوگ آن در غیاب و در حضور ۵۰ درصد TFE بین طول موج ۱۹۵-۲۶۰ nm

| | H ₂ O | | TFE (50%) | |
|--------------|------------------|--------|-------------|--------|
| | Brevinin-2R | Sami-D | Brevinin-2R | Sami-D |
| Helix | 14/3 | 6/8 | 53/0 | 17/7 |
| Antiparallel | 18/9 | 20/7 | 2/7 | 19/6 |
| Parallel | 14/3 | 5/4 | 4/0 | 4/9 |
| Beta-Turn | 13/5 | 19/9 | 18/9 | 17/4 |
| Rndm. Coil | 40/7 | 47/8 | 21/9 | 40/8 |
| Total Sum% | 101/7 | 100/6 | 100/5 | 100/4 |

هدف آنها غشاء باکتریهاست. پپتیدهای ضد میکروبی همانند دترجتتها موجب برهم ریختن غشای میکروبیها می‌گردد. برهم کنشهای بار-بار بین عوامل مثبت پپتیدها با عوامل منفی غشاء در اتصال و تشکیل ساختار آمفی پاتیک ضروری است (۴) غشای باکتریها دارای عوامل بار منفی همانند: LPS و LTA هستند از طرف دیگر دارای فسفاتیدیل گلیسرول و کاردیو لیپین است که بار منفی

بحث و نتیجه گیری

پپتیدهای ضد میکروبی نسبت به آنزیمها و آنتی بادیها و رسپتورهای هورمونی از ویژگی کمتری نسبت به هدف خود برخوردارند. مطالعات ساختار-عمل پپتیدهای ضد باکتری نشان داده است که ساختار آمفی پاتیک و بار خالص مثبت از عوامل اصلی فعالیت ضد میکروبی به شمار می‌رود. مشخصه دیگر پپتیدهای ضد میکروبی در این است که

پپتیدها به غشای دولایه لیپیدی باکتریها می‌شود. عواملی که باعث به هم خوردن این تعادل شود باعث کاهش فعالیت این پپتیدها می‌گردد که در این تحقیق در مورد پپتید Sami-D مشاهده شد که به دلیل دارا بودن اسیدآمینه نوع D هیدروفوبیسیته آن کاهش یافته است که این موضوع وقتی که نمونه‌ها از ستون HPLC خارج می‌شوند مشاهده می‌گردد که نمونه Sami-D نسبت به برونین 2R سریع تر از ستون خارج می‌شود. همچنین ساختار دوم مارپیچ آلفای به دست آمده از CD در محیط TFA ۵۰ درصد نیز این موضوع را تأیید می‌کند که برونین 2R در محیط شبه غشایی ساختار آلفا مارپیچ مناسب ایجاد می‌کند که این ساختار برای ورود به درون غشای باکتری مناسب است. در مورد بالا بودن همولیز برونین 2R نسبت به Sami-D نیز می‌توان گفت که در غشای سلولهای پستانداران در مقایسه با باکتریها دارای بار خنثی می‌باشد. بنابراین در اینجا نیز هر پپتیدی که دارای هیدروفوبیسیته بیشتری باشد باعث لیز بیشتر سلولهای پستانداران می‌شود که در مورد برونین 2R مشاهده گردید. همچنین به دلیل اینکه Sami-D دارای اسیدآمینه نوع D-لوسین در مقایسه با برونین 2R می‌باشد در برابر هضم آنزیمی تریپسین مقاومت بیشتری از خود نشان می‌دهد چون آنزیمهای طبیعی انسان قادر به هضم اسیدهای آمینه نوع D نیستند. نتایج نشان داد که دیاسترومر کردن باعث می‌شود که فعالیت پپتید کاهش یابد همچنین تحقیق نشان داد که عواملی که باعث پایداری پپتید می‌شود می‌تواند به کاهش فعالیت منجر شود (۲۴) و (۳۰).

بیشتری از غشای سلولهای یوکاریوت دارد. غشای سلولهای یوکاریوت بیشتر دارای فسفاتیدیل کولین است (۲۳ و ۲۷).

در این تحقیق پپتیدهای برونین 2R و آنالوگ آن برای اولین بار در ایران که دارای ۲۵ اسیدآمینه می‌باشد از طریق فاز جامد سنتز گردید. تمام پپتیدهای ضد میکروبی شناخته شده دارای دو خاصیت خیلی مهم هستند (۱۱، ۱۵، ۲۰ و ۲۶):

۱. دارا بودن بار مثبت بالا

۲. دارا بودن هیدروفوبیسیته بالا

در این تحقیق بدون اینکه بر روی بار تغییراتی ایجاد گردد تمام اسیدهای آمینه L-لوسین با D-لوسین در آنالوگ Sami-D جابجا گردید. این تغییرات ایجاد شده در ساختار همان گونه که در MIC خود را نشان داد تغییرات چشمگیری را بر روی فعالیت Sami-D نسبت به پپتید بر-وینین 2R داشت و نشان داد که فعالیتش بر روی باکتریهای گرم مثبت و گرم منفی کاهش یافته است. دلیل این امر دلالت بر این موضوع دارد که در تمام پپتیدهای ضد میکروبی شناخته شده یک حد آستانه بین بار مثبت و هیدروفوبیسیته وجود دارد که هر عاملی که باعث به هم خوردن این تعادل گردد موجب کاهش فعالیت پپتیدهای ضد میکروبی می‌شود. غشای باکتریها در مقایسه با غشای سلولهای پستانداران دارای بار منفی زیاد است. بار مثبت این پپتیدها با بار منفی غشای باکتریها برهمکنش یونی-یونی انجام می‌دهد و در مرحله بعد این هیدروفوبیسیته است که نقش خود را ایفاء می‌کند و باعث نفوذ این

منابع

۲- عبیدی عالی، ا. سادات نیک بین، و. فیص ابادی، م. غروی، س و فلاحی، ز. (۱۳۸۴). مطالعه پروفیل پلاسمیدی و مقاومت آنتی بیوتیکی در *Pseudomonas aeruginosa* بیمارستانی. مجله زیست شناسی ایران، ۱۸ (۲): ۱۴۱-۱۵۰

۱- حسن شاهیان، م و امتیازی، گ. (۱۳۸۷). بررسی رابطه بین هیدروفوبیسیته سطح سلولی و تولید بیوسورفکتانت در باکتریهای تجزیه کننده نفت خام. مجله زیست شناسی ایران، ۲۱(۱): ۳۶-۴۴

3. Alizadeh, M. F., Knoop, F. C., Vaudry, H., Conlon, J. M., Characterization of novel antimicrobial peptides from the skins of frogs of

the *Rana esculenta* complex, Peptides 2003; 24: 955-961.

4. Borner, C. and Monney, L. (1999) Apoptosis without caspases: an inefficient molecular guillotine? *Cell Death Differ.* 6, 497-507.
5. Boman, H.G. (1995) Peptide antibiotics and their role in innate immunity. *Annu Rev Immunol.* 13, 61-69.
6. Blondelle, S. E. and Houghten, R. A. (1992) Design of model amphipathic peptides having potent antimicrobial activities. *Biochemistry.* 31, 12688-12694.
7. Conlon, J. M., Seidel, B. and Nielsen, P. F. (2004) An atypical member of the brevinin-1 family of antimicrobial peptides isolated from the skin of the European frog *Rana dalmatina*. *Comp. Biochem. Physiol. C. Toxicol. Pharmacol.* 137, 191-196.
8. Chen, Y. H., Yang, J. T. and Martinez, H. M. (1972) Determination of the secondary structures of proteins by circular dichroism and optical rotatory dispersion. *Biochemistry.* 11, 4120-4131.
9. Chen, H. C., Brown, J. H., Morell, J. L. and Huang, C. M. (1988) Synthetic magainin analogues with improved antimicrobial activity. *FEBS Lett.* 236, 462-468.
10. Duellman, W. and Trueb, L. (1994) *Biology of Amphibians*, the John Hopkins University Press, London.
11. Dathe, M., Schumann, M., Wieprecht, T., Winkler, A., Beyermann, M., Krause, E., Matsuzaki, K., Murase, O. and Bienert, M. (1996) Peptide helicity and membrane surface charge modulate the balance of electrostatic and hydrophobic interactions with lipid bilayers and biological membranes. *Biochemistry.* 35, 12612-12622.
12. Dathe, M., Wieprecht, T., Nikolenko, H., Handel, L., Maloy, W. L., Macdonald, D. L., Beyermann, M. and Bienert, M. (1997) Hydrophobicity, hydrophobic moment and angle subtended by charged residues modulate antibacterial and haemolytic activity of amphipathic helical peptides. *FEBS Lett.* 403, 208-212.
13. Ehrenstein, G. and Lecar, H. (1977) Electrically gated ionic channels in lipid bilayers. *Q Rev Biophys.* 10, 1-34.
14. Kiyota, T., Lee, S. and Sugihara, G. (1996) Design and synthesis of amphiphilic α -helical model peptides with systematically varied hydrophobic/hydrophilic balance and their interaction with lipid- and bio-membranes. *Biochemistry.* 35, 13196-13204.
15. Kwon, M. Y., Hong, S. Y. and Lee, K. H. (1998) Structure-activity analysis of brevinin1E amide, an antimicrobial peptide from *Rana esculenta*. *Biochim Biophys Acta.* 1387, 239-248.
16. Kenji, S., Toshiyuki, S., Shiro, S., Tamio, M., Koji, Y., Nobuo, H. and Motoo, Y. (2003) Improvement of biological activity and proteolytic stability of peptides by coupling with a cyclic peptide. *Bioorg Medicinal Chem Lett.* 13, 2583-2586.
17. Maloy, W. L. and Kari, U. P. (1995) Structure-activity studies on magainins and other host defense peptides. *Biopolymers.* 37, 105-122.
18. Matsuzaki, K. (1999) why and how are peptide-lipid interactions utilized for self-defense? Magainins and tachyplesins as archetypes. *Biochim Biophys Acta.* 1462, 1-10.
19. Minn, I., Kim, H.S., Kim, S.C., Antimicrobial peptides derived from pepsinogens in the stomach of the bullfrog, *Rana catesbeiana*, *Biochim. Biophys. Acta* 1998; 407: 31-39.
20. National Committee for Clinical Laboratory Standards. Methods for dilution antimicrobial susceptibility tests for bacteria that grow aerobically, 4th ed. Approved standard M7-A4. 1997; National Committee for Clinical Laboratory Standards, Wayne, Pa.
21. Rich, T., Allen, R. L. and Wyllie, A. H. (2000) Defying death after DNA damage. *Nature.* 407, 777-783.
22. Richard, M. E. and Vogel, H. G. (1999) Diversity of antimicrobial peptides and their mechanisms of action. *Biochim Biophys Acta.* 1462, 11-28.
23. Saeid, G., Ahmad, A., Thomas, K., Andrew, J. H., Kamran, K., Tadeusz, J. K., Spencer, B. G., Evan, P. B., Hossein, N. M. and Marek, L. (2007) Brevinin-2R semi-selectively kills cancer cells by a distinct mechanism, which involves the lysosomal-mitochondrial death pathway. *J. Cellular Molecular Medicine.* 12, 1005-1022.
24. Sofia, Z., Anna, I. K., Panorea, M., Maria, S. D., Contantinos, S., Constantinos, D. and Eygenia, P. P. (2007) Design and synthesis of cationic Aib-containing antimicrobial peptides: conformational and biological studies. *J Pept Sci.* 13, 481-486.
25. Zong, L., Putnam, R. J., Johnson, W. C. and Rao, A. G. (1995) Design and synthesis of amphipathic antimicrobial peptides. *Int. J. Peptide Protein Res.* 45, 337-347.

26. Sung, Y. H., Jong, E. O. and Keun, H. (1999) Effect of D-Amino Acid Substitution on the Stability, The Secondary Structure and the Activity of Membrane-Active Peptide. *Biochemical Pharm.* 58, 1775–1780.
27. Sadowski, D. K., Coy, J. F., Mier, W., Hug, H. and Los, M. (2002) Caspases – their role in apoptosis and other physiological processes as revealed by knock-out studies. *Arch Immunol Ther Exp.* 50, 19-34.
28. Shai, Y. (1999) Mechanism of the binding, insertion and destabilization of phospholipid bilayer membranes by α -helical antimicrobial and cell non-selective membrane-lytic peptides. *Biochim Biophys Acta.* 1462, 55–70.
29. Tam, J. P., Wu, C. R. and Liu W. W. (1991) Disulfide bond formation in peptides by dimethyl sulfoxide Scope and applications. *J Am Chem Soc.* 113, 6657–6662.
30. Vande, V. C., Cizeau, J. and Dubik, D. (2000) BNIP3 and genetic control of necrosis-like cell death through the mitochondrial permeability transition pore. *Mol Cell Biol.* 20, 5454-5468.
31. Waddell W.J., A simple ultraviolet spectrophotometric method for the determination of protein. *J. Lab. Clin. Med* 48 (1956) 311–314.

Solid phase chemical synthesis and structure- activity study of brevinin-2R and analogues as antimicrobial peptides

Yaghoubi H.¹, Naderi-Manesh H.¹, Omid Y.^{2, 3} and Asoodeh A.³

¹ Biochemistry – Biophysics Dept., Faculty of Biology Science, Tarbiat Modares University, Tehran, I.R. of IRAN

² Research Centre for Pharmaceutical Nanotechnology, Tabriz University of Medical Sciences, Tabriz, I.R. of IRAN

³ Chemistry Dept., Faculty of Science, Ferdowsi University, Mashhad, I.R. of IRAN

Abstract

Brevinin-2R, consisting of 25 amino acid residues, from the skin of the frog *Rana ridibunda* has potent antimicrobial and low hemolytic activity. From a structural point of view, this peptide has an N-terminal hydrophilic region, and a C-terminal loop region delineated by an intra-disulfide bridge, which is a common structural feature of antimicrobial peptides from *Rana* species. To investigate the structural features for antimicrobial, hemolytic activity and proteolytic stability, analogues diastereomer Sami-D brevinin-2R were synthesized and characterized. Structure-activity relationship studies revealed the importance of the amphipathic α -helical conformation of the reported peptides in inducing antimicrobial effects. Analogues D shows lower antimicrobial activity than brevinin-2R and did not show any hemolytic activity up 400 $\mu\text{g/ml}$ whereas the brevinin-2R show low hemolytic activity. Circular dichroism spectra and the retention time on the C18 reverse phase column revealed that the brevinin-2R formed an amphipathic loop which increased hydrophobicity and helped to induce the α -helical structure in the membrane-mimetic environment. The hemolytic activity of brevinin-2R and its analogs also correlated well with the retention time and the α -helicity.

Keywords: Brevinin-2R; Antimicrobial peptide; Secondary structure; Hemolytic activity